



UNIVERSITÄTS-
BIBLIOTHEK
PADERBORN

Die Statik der Hochbau-Constructions

Landsberg, Theodor

Stuttgart, 1899

3. Kap. Kreuz- und Kuppelgewölbe

[urn:nbn:de:hbz:466:1-77733](https://nbn-resolving.org/urn:nbn:de:hbz:466:1-77733)

Kraft R' den Querschnitt links von der Aufsenkante der Mauer schneidet, das also Kanten eintreten muß.

Die lothrechte Seitenkraft der Mittelkraft R' ist offenbar $P = G_1 + G$. Nachdem in E der Schnittpunkt der Mittelkraft mit der Fuge gefunden ist, kann man die größte in der Fuge durch diese Belastung erzeugte Druckspannung ermitteln, wie in Art. 127 bis 130 (S. 112 bis 117) für verschiedene Querschnittsformen gezeigt ist. Wenn der Querschnitt ein Rechteck von der Länge b (senkrecht zur Bildfläche gemessen) ist und die Kräfteebene denselben in der Hauptaxe schneidet, so ist für

$$x < \frac{d}{3}$$

$$\sigma_{max} = \frac{2P}{3xb}$$

x und b sind in Centimetern, P in Kilogramm einzusetzen; alsdann erhält man σ_{max} in Kilogramm für das Quadr.-Centimeter. In ganz derselben Weise kann man die Unterfuchung für eine Anzahl von Fugen führen.

2) Pfeiler. Die Stabilitätsunterfuchung eines zwischen zwei Gewölben befindlichen Mittelpfeilers wird entsprechend vorgenommen.

Die Punkte E können auch leicht graphisch ermittelt werden, indem man R mit G_1 zu R' zusammensetzt und in gleicher Weise weiter für die verschiedenen Fugen verfährt.

3. Kapitel.

Kreuz- und Kuppelgewölbe.

a) Kreuzgewölbe.

284.
Lagerfugen.

Die Einwölbung erfolgt beim Kreuzgewölbe bekanntlich entweder so, daß die Lagerfugen parallel zu den Längsaxen der einzelnen Kappen laufen, aus denen das Kreuzgewölbe besteht, oder so, daß sie im Grundriß senkrecht oder nahezu senkrecht zu den Graten verlaufen. Das statische Verhalten ist bei den beiden Anordnungen verschieden.

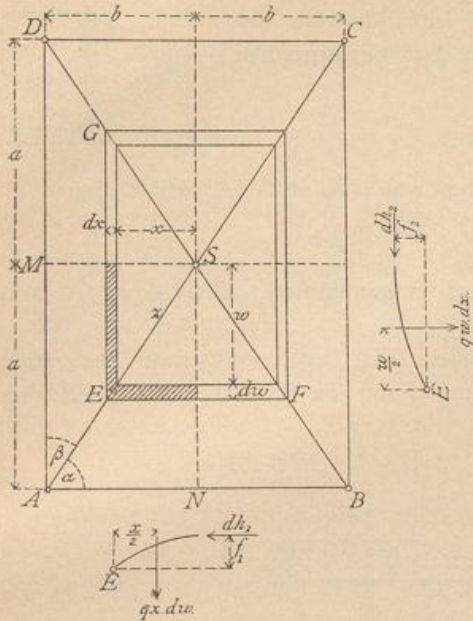
285.
Lagerfugen
parallel
zur Axe der
Kappen.

1) Die Lagerfugen laufen zu den Längsaxen der Kappen parallel. Bei den hier vorzunehmenden Berechnungen soll die vereinfachende, genügend genaue Annahme einer über die Grundfläche gleichmäßig vertheilten Belastung q auf die Flächeneinheit gemacht werden. Für die Ermittlung der Seilcurve und damit auch des Horizontalschubes werden stets drei Punkte angenommen werden.

Der nachfolgenden Unterfuchung soll ein Kreuzgewölbe über rechteckigem Raume zu Grunde gelegt werden; die Anwendung für ein solches mit quadratischem Grundriß ist dann leicht.

Zerlegt man jede Kappe durch senkrecht zur Längsaxe gelegte, lothrechte Ebenen in einzelne Streifen, welche im Grundriß Paralleltrapeze bilden (Fig. 396), und betrachtet man zwei solche Streifen GE und EF , die sich im Punkte E des Grates treffen, so ergeben sich die auf diese Streifen in ihren Scheiteln übertragenen Horizontalschübe folgendermaßen. Bezeichnet man die Pfeilhöhen der Seilcurven in den Streifen bezw. mit f_1 und f_2 , die Horizontalschübe mit bezw. dh_1 und dh_2 , so erhält man nach Fig. 396

Fig. 396.



$$dh_1 = \frac{q x^2 dw}{2f_1} \text{ und } dh_2 = \frac{q w^2 dx}{2f_2} \quad 397.$$

Der Punkt *E* ist der gemeinſame Kämpferpunkt für die beiden Bogen *GE* und *EF*; die in dieſem Punkte auf den Gratbogen von den beiden Bogen übertragenen Kräfte haben je eine wagrechte Seitenkraft, welche dh_1 , bzw. dh_2 iſt, und eine lothrechte Seitenkraft, deren Gröſſen

$dv_1 = qx dw$ und $dv_2 = qw dx$ find. Die lothrechten Seitenkräfte addiren ſich einfach in *E* zu einer abwärts wirkenden Kraft:

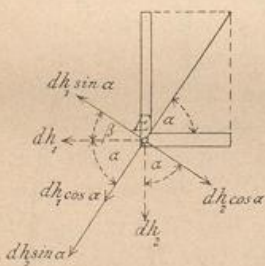
$$v = q(x dw + w dx).$$

v iſt alſo gleich dem halben Gewichte der anſchließenden Streifen (gleich dem Gewichte der in Fig. 396 ſchraffirten Fläche). Die beiden wagrechten Kräfte zerlegen ſich (Fig. 397) in je eine Seitenkraft, welche

in die Richtung der Diagonalen *AC* fällt, und in eine Seitenkraft ſenkrecht zur erſteren. Soll die Mittelkraft von dh_1 und dh_2 in die lothrechte, durch die Diagonale gelegte Ebene fallen, ſo müſſen ſich die zuletzt genannten Seitenkräfte $dh_1 \sin \alpha$ und $dh_2 \cos \alpha$ aufheben; fomit muß

$$dh_1 \sin \alpha = dh_2 \cos \alpha.$$

Fig. 397.



ſein, daraus

$$\operatorname{tg} \alpha = \frac{dh_2}{dh_1} = \frac{w^2 dx \cdot f_1}{x^2 dw \cdot f_2}.$$

Nun iſt

$$w = x \operatorname{tg} \alpha \text{ und } dw = \operatorname{tg} \alpha dx,$$

daher

$$\operatorname{tg} \alpha = \frac{x^2 \operatorname{tg}^2 \alpha \cdot dx \cdot f_1}{x^2 \operatorname{tg} \alpha \cdot dx \cdot f_2} = \operatorname{tg} \alpha \frac{f_1}{f_2}.$$

Damit obige Bedingung erfüllt ſei, muß daher

$$\frac{f_1}{f_2} = 1, \text{ d. h. } f_1 = f_2$$

ſein. Soll alſo die Mittelkraft beider Horizontalkräfte im Grundriß in die Richtung der Diagonalen fallen, ſo find für die Seilcurven der beiden zugehörigen Streifen gleiche Pfeilhöhen einzuführen.

Damit dieſe günstige Kräftewirkung möglich ſei, müſſen die zugehörigen Streifen annähernd gleiche Scheitelhöhen haben. Wenn die Scheitellinien \overline{MS} und \overline{SN} der Kappen (Fig. 396) wagrecht ſind, ſo kann $f_1 = f_2$ ſein; aber auch wenn \overline{MS} nach einer geraden oder gekrümmten Linie anſteigt, iſt es möglich und zweckmäßig, der Linie \overline{SN} die entſprechende Form zu geben, bei welcher die Werthe f_1 der einzelnen Streifen den Werthen f_2 nahezu gleich ſind. Wenn die Bedingung $f_1 = f_2$ nicht erfüllt iſt, wenn beispielsweise $dh_1 \sin \alpha > dh_2 \cos \alpha$ iſt, ſo wirkt der Ueberſchuß $\Delta h = dh_1 \sin \alpha - dh_2 \cos \alpha$ wie in Fig. 398 gezeichnet iſt. Δh zer-

legt sich in eine Seitenkraft Δg in der lothrechten Gratebene und eine Seitenkraft Δw , welche parallel der Längsaxe der Kappe ASD (Fig. 396) wirkt. Die Kräfte Δw beanspruchen den Schildbogen AMD . Man erhält

$$\Delta w = \frac{\Delta h}{\sin \alpha} = dh_1 - \frac{dh_2}{\operatorname{tg} \alpha}.$$

Mit den in Gleichung 397 gefundenen Werthen von dh_1 und dh_2 erhält man

$$\Delta w = \frac{q x^2}{2} \operatorname{tg} \alpha \left(\frac{1}{f_1} - \frac{1}{f_2} \right) dx.$$

Für die weiteren Untersuchungen wird angenommen, daß $f_1 = f_2$, also $\Delta w = 0$ sei.

Betrachtet man ein Viertel des Gewölbes (Fig. 399), und zwar das Stück $MSNA$, so wirken auf dasselbe die Belaftung q für die Einheit der Grundfläche, also im Ganzen $G = qab$ im Schwerpunkt O des Rechteckes $MSNA$; außerdem wirken in den Scheiteln der einzelnen Gewölbestreifen die Kräfte dh_1 , bzw. dh_2 , endlich der Kämpferdruck auf den Gratbogen in A . Diese Kräfte müssen den Gewölbetheil im Gleichgewicht halten. Die den einzelnen Streifen entsprechenden Seilcurven sind, weil die Belastungen gleichmäÙig über die wagrechte Projection vertheilt sind, Parabeln, und man kann annehmen, daß sich in allen Streifen desselben Gewölbetheiles (ASB , bzw. ASD in Fig. 396) dieselbe Seilcurve bildet. Dann ist, wenn C_1 und C_2 noch zu bestimmende Festwerthe sind, bzw.

$$x^2 = C_1 f_1 \quad \text{und} \quad w^2 = C_2 f_2.$$

Werden diese Werthe in die Gleichung 397 eingeführt, so ergibt sich

$$dh_1 = \frac{q C_1 dw}{2} \quad \text{und} \quad dh_2 = \frac{q C_2 dx}{2} \quad \dots \quad 398.$$

Die in den Scheiteln der Gewölbestreifen wirkenden Horizontalkräfte haben also auf die ganze Länge des Gewölbes für die Längeneinheit die gleiche GröÙe (sind constant). Man erhält demnach die auf die gesammten Scheiteltrecken SN , bzw. SM ausgeübten Horizontalkräfte zu

$$H_1 = \frac{q C_1 a}{2} \quad \text{und} \quad H_2 = \frac{q C_2 b}{2} \quad \dots \quad 399.$$

Diese Mittelkräfte liegen in den Mitten der bezüglichlichen Scheiteltrecken, weil alle Einzelkräfte gleich groß sind. Beide Kräfte H_1 und H_2 schneiden sich in der Mitte der Diagonale AS , d. h. in der Lothrechten des Punktes O . Wird die Pfeilhöhe der Seilcurve im äußersten Gewölbestreifen (AB , bzw. AD) mit c bezeichnet, so ist $b^2 = C_1 c$ und $a^2 = C_2 c$; hiernach wird

$$H_1 = \frac{q}{2} a \frac{b^2}{c} \quad \text{und} \quad H_2 = \frac{q}{2} b \frac{a^2}{c}.$$

Fig. 398.

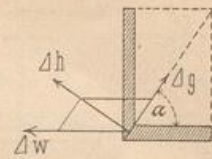
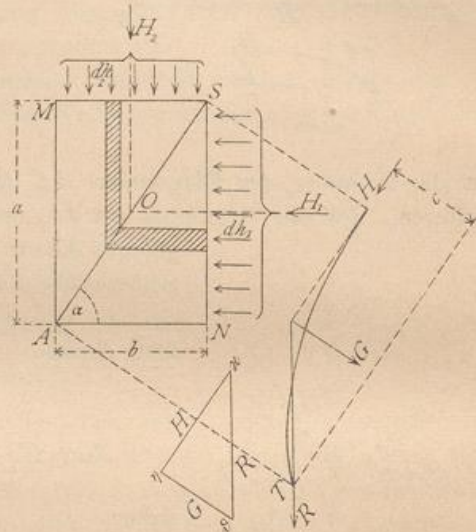


Fig. 399.



* H_1 und H_2 setzen sich in ihrem Schnittpunkte zu einer Mittelkraft H zusammen, welche im Grundriss in die Richtung der Diagonalen AS fällt; dieselbe ist

$$H = H_1 \cos \alpha + H_2 \sin \alpha = \frac{q}{2c} ab (b \cos \alpha + a \sin \alpha).$$

Nun ist $\cos \alpha = \frac{b}{\sqrt{a^2 + b^2}}$ und $\sin \alpha = \frac{a}{\sqrt{a^2 + b^2}}$; mithin wird

$$H = \frac{qab(b^2 + a^2)}{2c\sqrt{a^2 + b^2}} = \frac{qab}{2c} \sqrt{a^2 + b^2}.$$

Diese Kraft H vereinigt sich in der Lothrechten des Punktes O mit dem Gewichte $G = qab$ zu der auf den Kämpfer wirkenden Mittelkraft. Damit ist die auf einen jeden Eckpfeiler des rechteckigen Kreuzgewölbes wirkende Kraft gefunden; sie hat eine wagrechte und eine lothrechte Seitenkraft, deren Größen sind:

$$H = \frac{qab}{2c} \sqrt{a^2 + b^2} \dots \dots \dots 400.$$

$$V = qab \dots \dots \dots 401.$$

Wenn das Gewölbe quadratischen Grundriss hat, so bleibt alles Vorstehende gültig; nur ist $b = a$ einzuführen, so dass man erhält: Beim Kreuzgewölbe über quadratischem Raume mit einer Seitenlänge $2a$ ist der Horizontalschub am Grat

$$H = \frac{qa^3}{c\sqrt{2}}, \dots \dots \dots 402.$$

und die lothrechte auf jeden Pfeiler übertragene Kraft

$$V = qa^2 \dots \dots \dots 403.$$

Die graphische Ermittlung von H läuft auf die Zerlegung von $G = qab$ (bezw. qa^2) in die beiden Kräfte H und R hinaus. Ist in Fig. 399: $G = \eta \vartheta$, so ist $\alpha \eta = H$ und $\vartheta \alpha = R$.

2) Die Lagerfugen sind im Grundriss senkrecht zu den Graten. Der Untersuchung wird wieder ein Gewölbe über rechteckigem Raume zu Grunde gelegt. Dasselbe werde durch lothrechte Ebenen, welche im Grundriss senkrecht zu den Graten gerichtet sind, in Streifen zerlegt; dann besteht jeder Streifen aus zwei Theilen, welche sich im Grat treffen. Für jeden Theil stellt der Grat den einen Stützpunkt dar; die anderen Stützpunkte werden bei den innerhalb des Viereckes $LMNO$ (Fig. 400) liegenden Streifen durch die entsprechenden Streifen der benachbarten Gewölbeviertel gebildet, bei den außerhalb dieses Viereckes liegenden Streifen einerseits durch die Streifen des benachbarten Gewölbeviertels, andererseits oder beiderseits durch die Gurtbogen AB, BC, CD, DA .

a) Es werde zuerst ein Streifen $FE G$ aus dem Viereck $LMNO$ betrachtet. Die Belastung für die Einheit der Grundfläche sei wiederum q ; alsdann ist (Fig. 400)

$$dh_1 = \frac{qz_1^2 dw}{2f_1} \quad \text{und} \quad dh_2 = \frac{qz_2^2 dw}{2f_2}, \dots \dots \dots 404.$$

wenn f_1 und f_2 die Pfeilhöhen der betreffenden Seilcurven sind. Im Punkte E wird auf den Grat nur eine lothrechte Kraft übertragen, falls $dh_1 = dh_2$, d. h. wenn $\frac{f_2}{f_1} = \frac{z_2^2}{z_1^2}$ ist. Nun ist $z_2 = w \operatorname{tg} \alpha$ und $z_1 = \frac{w}{\operatorname{tg} \alpha}$; mithin ist die Bedingung für $dh_1 = dh_2$:

$$\frac{f_2}{f_1} = \operatorname{tg}^4 \alpha = \frac{a^4}{b^4}; \dots \dots \dots 405.$$

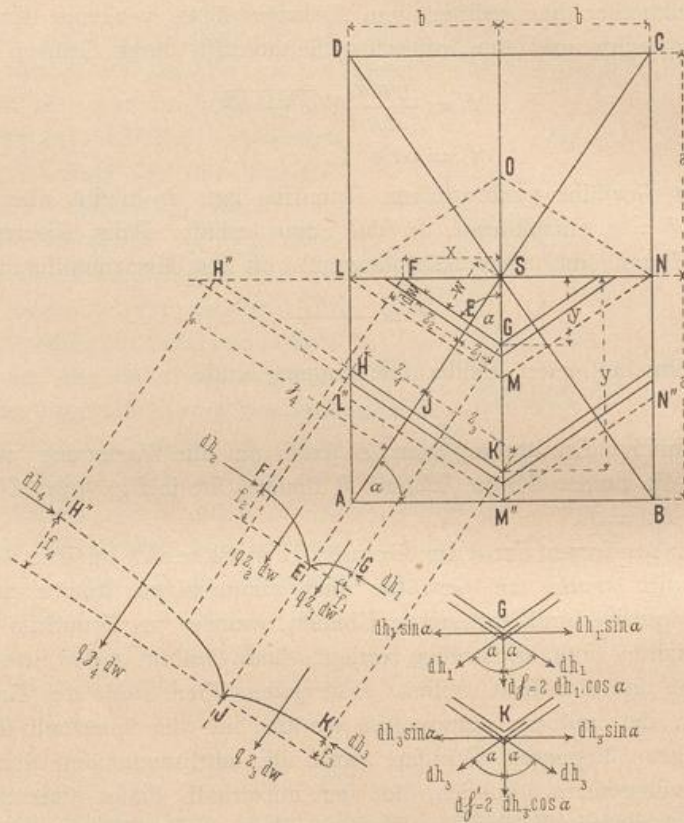
286.
Lagerfugen
senkrecht
zu den
Graten.

alsdann ist die im Punkte E auf den Grathbogen übertragene lothrechte Kraft $dv_1 = q dw (z_1 + z_2)$; dieselbe ist gleich dem Gewichte des Streifens FEG . Da aber $z_1 + z_2 = \frac{y}{\cos \alpha}$ ist, so wird

$$dv_1 = \frac{q y dw}{\cos \alpha} = q y \operatorname{tg} \alpha dy \dots \dots \dots 406.$$

Im Punkte G wirken die beiden wagrechten Kräfte dh_1 in den Richtungen der anschließenden Streifen; sie zerlegen sich in je zwei Seitenkräfte, welche in der Längsrichtung der Kappe, bzw. fenkrecht zu dieser Richtung wirken. Die beiden

Fig. 400.



letzteren haben je die Größe $dh_1 \sin \alpha$ und heben einander auf; die beiden ersteren setzen sich zu einer Kraft $dh = 2 dh_1 \cos \alpha$ zusammen. Wird für dh_1 der obige Werth eingeführt und beachtet, dass $w = z_1 \operatorname{tg} \alpha$, also $dw = dz_1 \operatorname{tg} \alpha$ ist, so ergibt sich

$$dh = \frac{q z_1^2 \sin \alpha dz_1}{f_1}.$$

Unter gleichen Annahmen, wie in Art. 285 (S. 298), wird $z_1^2 = C f_1$ und $dh = q C \sin \alpha dz_1$; ferner, weil $z_1 = y \cos \alpha$ und $dz_1 = \cos \alpha dy$ ist, $dh = q C \sin \alpha \cos \alpha dy$.

Jeder Doppelfstreifen EGE' innerhalb der Grenzen $x = 0$ bis $x = b$ übt eine wagrechte Kraft dh auf den Scheitel des Gurtbogens aus.

β) Nunmehr werde ein Streifen $H\mathcal{F}K$ untersucht, welcher auferhalb des Viereckes $LMNO$ liegt, aber an der einen Seite sich gegen den entsprechenden Streifen des benachbarten Gewölbeviereckes lehnt (Fig. 400). Es kann angenommen werden, daß die Seilcurve im Punkte K eine wagrechte Tangente hat; im Punkte H ist dies nicht der Fall. Wir ergänzen das Stück $\mathcal{F}H$ des Streifens durch ein Stück, welches bis zur Verlängerung der Linie LN reicht, und nehmen an, daß im Punkte H'' dieses Streifens die Seilcurve eine wagrechte Tangente habe. Der Horizontalschub im Streifen $H\mathcal{F}$ ist eben so groß, wie im Streifen $H''\mathcal{F}$. Werden die Pfeilhöhen der betreffenden Seilcurven mit f_3 und f_4 bezeichnet, so ist

$$dh_3 = \frac{q dw z_3^2}{2 f_3} \quad \text{und} \quad dh_4 = \frac{q dw \delta_4^2}{2 f_4}.$$

Soll, wie oben, $dh_3 = dh_4$ sein, so muß

$$\frac{f_4}{f_3} = \frac{\delta_4^2}{z_3^2} = \operatorname{tg}^2 \alpha = \frac{a^2}{b^2}$$

sein, d. h. die Pfeilhöhen müssen im gleichen Verhältniß zu einander stehen, wie oben unter α (Gleichung 405).

Im Punkte \mathcal{F} wird auf den Grat eine lothrechte Belastung übertragen, welche dem Gewichte des ganzen Streifens $H''\mathcal{F}K$ gleich ist; denn der im Punkte H vom Gurtbogen auf den Streifen wirkende Gegendruck hat eine nach unten gerichtete lothrechte Seitenkraft, die dem Gewichte des Streifens HH'' gleich ist.

Demnach wirkt in \mathcal{F} als Belastung auf den Grat

$$dv_2 = q dw (z_3 + \delta_4) = q w dw \left(\frac{1}{\operatorname{tg} \alpha} + \operatorname{tg} \alpha \right)$$

und, da $w = y \sin \alpha$, also $dw = \sin \alpha dy$ ist,

$$dv_2 = q y \operatorname{tg} \alpha dy \quad \dots \dots \dots 407.$$

Im Punkte K wirken zwei Kräfte dh_3 , deren Mittelkraft sich zu

$$dh' = 2 dh_3 \cos \alpha = \frac{q dw z_3^2}{f_3} \cos \alpha$$

ergiebt. Mit $w = z_3 \operatorname{tg} \alpha$, also $dw = \operatorname{tg} \alpha dz_3$ erhält man

$$dh' = \frac{q z_3^2}{f_3} \sin \alpha dz_3.$$

Setzt man wiederum $z_3^2 = C f_3$, so wird

$$dh' = q C \sin \alpha dz_3$$

und, weil $z_3 = y \cos \alpha$ oder $dz_3 = dy \cos \alpha$ ist,

$$dh' = q C \sin \alpha \cos \alpha dy.$$

Die Summe aller Kräfte dh und dh' , welche von den Streifen bis $L''M''N''$ ausgeübt werden, ist demnach

$$\mathfrak{D}_1 = q C a \sin \alpha \cos \alpha$$

und, weil $\sin \alpha = \frac{a}{\sqrt{a^2 + b^2}}$ und $\cos \alpha = \frac{b}{\sqrt{a^2 + b^2}}$ ist,

$$\mathfrak{D}_1 = \frac{q a^2 b C}{a^2 + b^2} \quad \dots \dots \dots 408.$$

γ) Betrachtet man endlich einen Streifen $F''E''G''$, welcher sich beiderseits gegen die Gurtbogen stützt, so hat man hier beiderseits ergänzende Gewölbestücke hinzuzufügen, welche bis zu den verlängerten Halbirungslinien des Gewölbes reichen.

Die beiden in E'' auf den Grat übertragenen wagrechten Kräfte sind, wenn die obigen Bezeichnungen (mit Abänderung der Zeiger) beibehalten werden,

$$dh_5 = \frac{q dw \delta_5^2}{2f_5},$$

$$dh_6 = \frac{q dw \delta_6^2}{2f_6}.$$

Sollen sich wiederum die beiden wagrechten Kräfte in E'' aufheben, so muß

$$\frac{f_6}{f_5} = \frac{\delta_6^2}{\delta_5^2} = \operatorname{tg}^2 \alpha = \frac{a^4}{b^4}$$

sein. Die in E'' auf den Grat übertragene lothrechte Last ist alsdann (vergl. die Angaben unter β)

$$dv_3 = q dw (\delta_5 + \delta_6).$$

Nun ist

$$(\delta_5 + \delta_6) = \frac{y_5}{\cos \alpha}$$

und $dw = \sin \alpha dy$, also

$$dv_3 = \frac{q y_5}{\cos \alpha} \sin \alpha dy$$

$$= q y_5 dy \cdot \operatorname{tg} \alpha, \dots 409.$$

genau wie in den Formeln 406 u. 407.

Die im Punkte G'' auf den Gurtbogen ausgeübte Kraft dh_3 zerlegt sich in eine senkrecht zum Gurtbogen gerichtete Seitenkraft $dh_3 \cos \alpha$ und eine solche, welche im Grundriß in die Richtung des Gurtbogens fällt: $dh_3 \sin \alpha$. Letztere wird durch eine gleich große, entgegengesetzt gerichtete Seitenkraft im symmetrisch zur Mitte liegenden Punkte aufgehoben; die erstere ist

$$dh_3 \cos \alpha = \frac{q dw \delta_5^2}{2f_5} \cos \alpha.$$

Setzt man wieder $\delta_5^2 = C f_5$, so wird

$$dh_3 \cos \alpha = \frac{q dw C}{2} \cos \alpha.$$

Nach Fig. 401 ist $\cos \alpha = \frac{\rho - w}{u}$, $w = \rho - u \cos \alpha$ und $dw = -\cos \alpha du$,

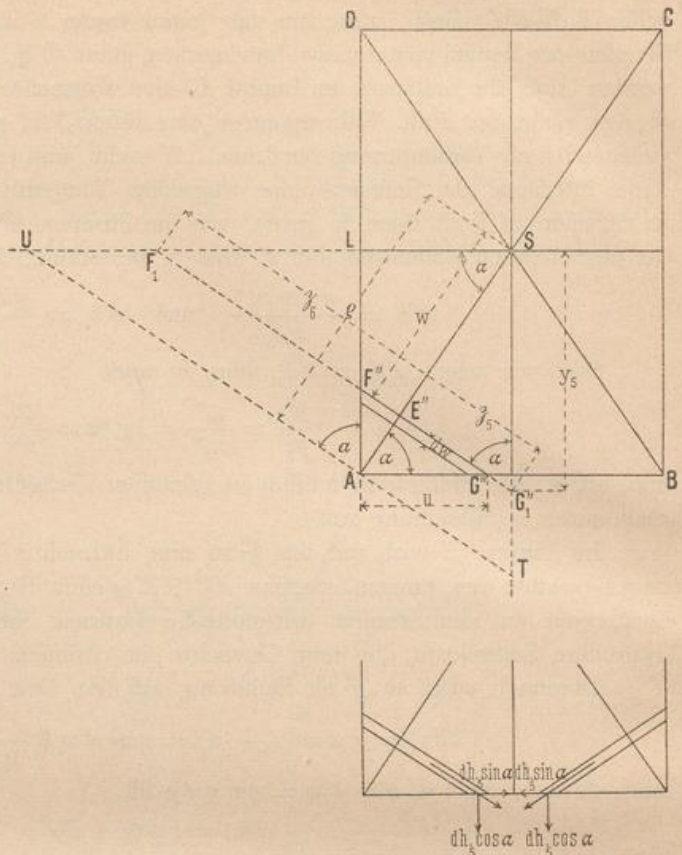
also

$$dh_3 \cos \alpha = -\frac{q C}{2} \cos^2 \alpha du.$$

Die auf den Gurtbogen wirkende wagrechte Kraft ist also auf die ganze Grundrißlänge constant, und zwar entfällt auf jede Hälfte b der Breite

$$-\int_b^0 \frac{q C}{2} \cos^2 \alpha du = \frac{q C}{2} \cos^2 \alpha b.$$

Fig. 401.



Die gefamnte auf den Gurtbogen übertragene, wagrechte Kraft ist demnach in der Axe des Gewölbes ASB (vergl. Gleichung 408)

$$\mathfrak{H}_1 = \frac{q a^2 b C}{a^2 + b^2};$$

gleichmäfsig über die Grundrisslänge $2b$ vertheilt wirkt:

$$\mathfrak{H}_2 = \frac{q C b^3}{a^2 + b^2}.$$

Diese Kräfte greifen in verschiedenen Höhen an; die Lage von \mathfrak{H}_2 folgt aus den Höhen der Stellen, an welchen die einzelnen Gewölbefstreifen sich an den Gurtbogen setzen. An diesen Stellen wirken aufer den wagrechten auch lothrechte Seitenkräfte nach aufwärts; dieselben sind gleich den Gewichten der zu ergänzenden Gewölbefstreifen.

Die gefamnte, normal gegen den Gurtbogen AB wirkende Horizontalkraft ist

$$\mathfrak{H}_1 + \mathfrak{H}_2 = \frac{q C b}{a^2 + b^2} (a^2 + b^2) = q C b, \\ (\mathfrak{H}_I) = q C b; \dots \dots \dots 410.$$

eben so erhält man als gefamnte Horizontalkraft, welche normal gegen den Gurtbogen AD wirkt,

$$(\mathfrak{H}_{II}) = q C a \dots \dots \dots 411.$$

Wird die Pfeilhöhe f_3 der Seilcurve, welche durch M'' gelegt ist, mit e bezeichnet, für welchen Streifen s_3 den Werth $a \cos \alpha$ annimmt, so ergibt sich

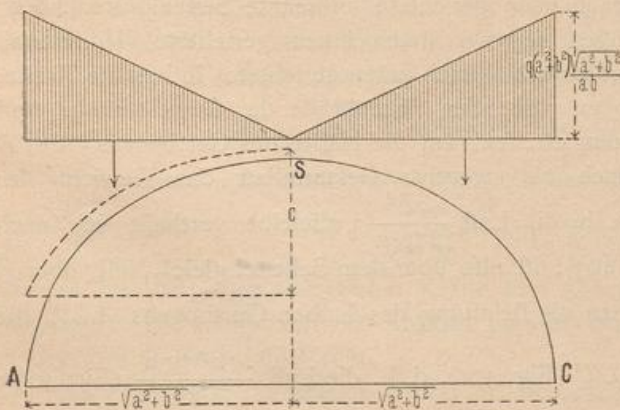
$$a^2 \cos^2 \alpha = C e, \text{ d. h. } C = \frac{a^2 b^2}{e(a^2 + b^2)}; \text{ fomit}$$

$$\left. \begin{aligned} (\mathfrak{H}_I) &= \frac{q a^2 b^3}{e(a^2 + b^2)} \\ (\mathfrak{H}_{II}) &= \frac{q a^3 b^2}{e(a^2 + b^2)} \end{aligned} \right\} \dots \dots \dots 412.$$

Die Kräfte \mathfrak{H} werden entweder durch gleiche, entgegengesetzt gerichtete, vom Nachbargewölbe ausgehende Kräfte aufgehoben, oder sie werden von der Mauer aufgenommen, gegen welche sich das Gewölbe setzt.

δ) Die Belastung des Gratbogens ist nach Vorstehendem lothrecht; nach Gleichung 406, 407 u. 409 nimmt sie von der Mitte des Gewölbes von S bis zum Kämpfer des Gratbogens bei A entsprechend den Ordinaten einer Geraden zu. In allen drei oben betrachteten Abtheilungen ist sie auf die Grundrisslänge $d\omega$

Fig. 402.



Handbuch der Architektur. I, 1, b. (3. Aufl.)

ist sie auf die Grundrisslänge $d\omega$

$$d v = q d \omega \frac{y}{\cos \alpha};$$

demnach ist auf die Längeneinheit des Gratbogens im Grundriss die Belastung

$$\frac{d v}{d \omega} = \frac{q y}{\cos \alpha}.$$

y hat seinen größten Werth für den Kämpferpunkt;

für diesen Punkt ist $y = \overline{ST} = a + \frac{b}{\operatorname{tg} \alpha} = a + \frac{bb}{a} = \frac{a^2 + b^2}{a}$. An dieser Stelle ist die Einheitsbelastung $\frac{q(a^2 + b^2)}{a \cos \alpha} = \frac{q(a^2 + b^2)}{ab} \sqrt{a^2 + b^2}$.

Wird die Pfeilhöhe der Seilcurve im Gratbogen gleich c angenommen, so ist der Horizontal Schub im Grat

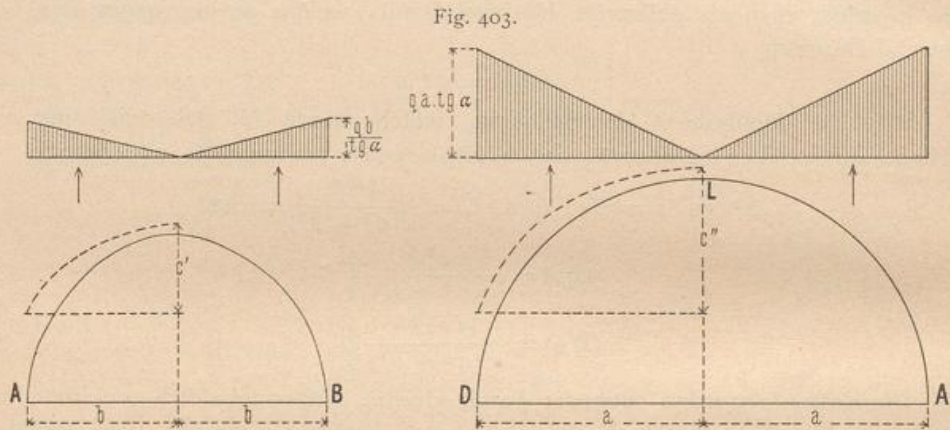
$$R_h = \frac{q(a^2 + b^2) \sqrt{a^2 + b^2}}{abc} \cdot \frac{\sqrt{a^2 + b^2}}{2} \cdot \frac{\sqrt{a^2 + b^2}}{3},$$

$$R_h = \frac{q(a^2 + b^2)^2 \sqrt{a^2 + b^2}}{6abc} \dots \dots \dots 413.$$

Die lothrechte Seitenkraft der vom Gratbogen auf den Eckpfeiler ausgeübten Kraft ist

$$R_v = \frac{q(a^2 + b^2) \sqrt{a^2 + b^2} \sqrt{a^2 + b^2}}{2ab} = \frac{q(a^2 + b^2)^2}{2ab} \dots \dots \dots 414.$$

e) Standficherheit der Eckpfeiler. Für die Untersuchung der Standficherheit der Eckpfeiler sind weiter noch die Kräfte in das Auge zu fassen, welche



von den Gurtbogen auf die Eckpfeiler übertragen werden; dieselben sollen nur so weit besprochen werden, als sie vom Kreuzgewölbe hervorgerufen werden; vom Eigengewicht der Gurtbogen kann hier abgesehen werden.

Von den einzelnen Gewölbestreifen werden nach Vorstehendem Kräfte auf die Gurtbogen übertragen, welche nach oben gerichtete lothrechte Seitenkräfte haben; diese letzteren rufen im Gurtbogen negative (nach innen gerichtete) Horizontalkräfte hervor, außerdem im Pfeiler negative (nach unten gerichtete) lothrechte Kräfte. Die lothrechten, auf die Gurtbogen wirkenden Seitenkräfte der Gewölbschübe sind gleich den Gewichten der Ergänzungstreifen; auf die Hälfte des Gurtbogens $AM''B$ (Fig. 400 u. 401) wirkt demnach als negative Gesamtlast das Gewicht des Ergänzungsdreieckes $AM''T$, d. h. die Last $\frac{q b^2}{2 \operatorname{tg} \alpha}$; dieselbe vertheilt sich nach dem Gesetze des Dreieckes (Fig. 403), ist also über dem Scheitel gleich Null, über A gleich $\frac{q b}{\operatorname{tg} \alpha}$. Eben so erhält man als Belastung des halben Gurtbogens ALD die Last des Ergänzungsdreieckes ALU (Fig. 401), d. h. die Last $\frac{q a^2 \operatorname{tg} \alpha}{2}$ (Fig. 403);

über A und D ist die Belaftung für die Längeneinheit gleich $q a \operatorname{tg} \alpha$; über L ist die Einheitsbelaftung gleich Null. Fig. 403 zeigt die Belaftung. Demnach entfällt auf den Eckpfeiler A die negative Zusatzlast $\Delta R_v = -\left(\frac{q b^2}{2 \operatorname{tg} \alpha} + \frac{q a^2 \operatorname{tg} \alpha}{2}\right)$ und mit $\operatorname{tg} \alpha = \frac{a}{b}$

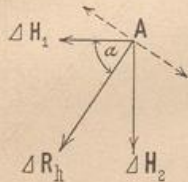
$$\Delta R_v = -\frac{q}{2 a b} (a^4 + b^4) \dots \dots \dots 415.$$

Die in Fig. 403 angegebenen Belaftungen erzeugen in den Gurtbogen die Horizontalstöße

$$\Delta H_1 = -\frac{q b^2 b}{2 \operatorname{tg} \alpha \cdot 3 c'} \quad \text{und} \quad \Delta H_2 = -\frac{q a^2 \operatorname{tg} \alpha \cdot a}{2 \cdot 3 c''},$$

welche sich zu einer in der Richtung des Grates wirkenden Mittelkraft ΔR_h vereinigen. Es ist

Fig. 404.



$$\Delta R_h = -(\Delta H_1 \cos \alpha + \Delta H_2 \sin \alpha),$$

$$\Delta R_h = -\frac{q}{6} \left(\frac{b^3 \cos^2 \alpha}{c' \sin \alpha} + \frac{a^3 \sin^2 \alpha}{c'' \cos \alpha} \right) \dots \dots \dots 416.$$

Für $c' = c'' = c$ wird

$$\Delta R_h = -\frac{q(a^6 + b^6)}{6 a b c \sqrt{a^2 + b^2}} \dots \dots \dots 417.$$

Vereinigt man die für ΔR_v und ΔR_h gefundenen Werthe mit den Werthen derjenigen Kräfte, welche vom Grat auf den Eckpfeiler übertragen werden, d. h. mit den Ausdrücken der Gleichungen 413 u. 414, so erhält man, wenn man

$$R_h + \Delta R_h = H \quad \text{und} \quad R_v + \Delta R_v = V$$

setzt,

$$H = \frac{q(a^2 + b^2)^2}{6 a b c} \sqrt{a^2 + b^2} - \frac{q}{6 a b c \sqrt{a^2 + b^2}} \left(\frac{b^6}{c'} + \frac{a^6}{c''} \right) \dots \dots \dots 418.$$

Für $c' = c'' = c$ ergibt sich

$$H = \frac{q a b}{2 c} \sqrt{a^2 + b^2}; \dots \dots \dots 419.$$

ferner

$$V = \frac{q}{2 a b} (a^2 + b^2)^2 - \frac{q}{2 a b} (a^4 + b^4);$$

mit einfachen Umformungen erhält man

$$V = q a b \dots \dots \dots 420.$$

Die auf den Eckpfeiler Seitens des Kreuzgewölbes ausgeübte Kraft hat also, falls man $c' = c'' = c$ setzen kann, als Seitenkräfte

für das Kreuzgewölbe über rechteckigem Raume:

$$H = \frac{q a b}{2 c} \sqrt{a^2 + b^2} \quad \text{und} \quad V = q a b;$$

für das Kreuzgewölbe über quadratischem Raume:

$$H = \frac{q a^3}{c \sqrt{2}} \quad \text{und} \quad V = q a^2.$$

Die auf die Eckpfeiler ausgeübten Kräfte sind also genau gleich groß, mögen die Lagerfugen den Längsachsen der Kappen parallel laufen oder im Grundriss fenkrecht zu den Graten angeordnet sein.

Man nehme H im inneren Drittel der Scheitelfuge des Gratabogens wirkend an.

b) Kuppelgewölbe.

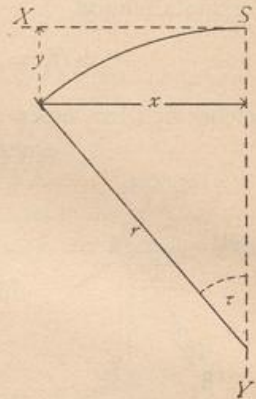
287.
Voraus-
setzungen.

Die Kuppelfläche entsteht durch Drehung einer krummen Linie um eine lothrechte Axe. In den folgenden Untersuchungen sollen die im Inneren des Kuppelgewölbes auftretenden Kräfte unter der Annahme ermittelt werden, daß die Belastung eine ruhende und über die einzelnen zwischen den Parallelkreisen liegenden Ringe so vertheilt sei, daß ein jeder Ring entweder voll belastet oder ganz unbelastet ist. Weiter wird die Kuppelfläche als die Gleichgewichtsfläche angenommen; demnach werden die auf ein beliebiges Kuppeltheilchen wirkenden inneren Kräfte in die betreffenden Berührungsebenen der Kuppelfläche fallen. Daraus ergeben sich dann die inneren Kräfte oder Spannungen, welche, in der Kuppel wirkend, im Stande sind, das Gleichgewicht aufrecht zu erhalten.

288.
Allgemeine
Gleichgewichts-
bedingungen.

Der Anfangspunkt der Coordinaten soll in den Scheitel der Kuppel (Fig. 405) gelegt und die lothrechte Axe als Y-Axe, eine im Scheitel *S* senkrecht zu ersterer errichtete Axe als X-Axe gewählt werden. Irgend ein Kuppeltheilchen *MNOP* (Fig. 406), welches oben und unten durch Parallelkreise, rechts und links durch Meridiane der Kuppel begrenzt ist, wird auf seinen Gleichgewichtszustand untersucht. Das Theilchen *MNOP* ist in Fig. 406a in der Ansicht, in Fig. 406b im Grundriss, daneben im abgewickelten Zustande dargestellt.

Fig. 405.



Auf *MN* wirkt für die Längeneinheit die Tangentialspannung *T*, und da *MN* (vergl. den Grundriss in Fig. 406b) $x d\omega$ Längeneinheiten enthält, so wirkt auf *MN* die Kraft $T x d\omega$.

Auf *OP* wirkt $(T + dT)(x + dx) d\omega$; auf *MP* und *NO* wirken die Ringspannungen, welche für die Längeneinheit gleich *R* sein, also auf *ds* Längeneinheiten die Größe *R ds* haben. Außerdem wirkt noch die veränderliche Belastung *p* für die Flächeneinheit der Kuppelfläche, d. h. auf *MNOP* die Last $p ds \cdot x d\omega$. Um sämtliche auf das Theilchen wirkende Kräfte in einer Ebene zu erhalten, ermittelt man die Mittelkraft der beiden Ringspannungen *R ds*; sie ist $\mathfrak{S} = 2 R ds \sin \frac{d\omega}{2}$,

und, da wegen der Kleinheit von $\frac{d\omega}{2}$ die

Größe $\sin \frac{d\omega}{2} = \frac{d\omega}{2}$, wird

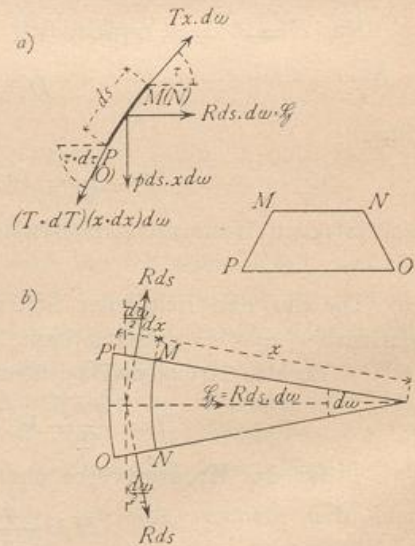
$$\mathfrak{S} = R ds d\omega \dots 421.$$

Die Aufstellung der allgemeinen Gleichgewichtsbedingungen für *MNOP* ergibt nun

$$0 = T x d\omega \cos \tau - (T + dT)(x + dx) d\omega \cos(\tau + d\tau) + R ds d\omega.$$

Führt man die Multiplication durch und läßt die unendlich kleinen Glieder zweiter und dritter Ordnung fort, so bleibt

Fig. 406.



$0 = Tx \sin \tau d\tau - dTx \cos \tau - Tdx \cos \tau + Rds = -d(Tx \cos \tau) + Rds;$
daher

$$Rds = d(Tx \cos \tau) \dots \dots \dots 422.$$

Ferner ist

$$0 = pdsx d\omega - Txd\omega \sin \tau + (T + dT)(x + dx)d\omega \sin(\tau + d\tau);$$

$$\sin(\tau + d\tau) = \sin \tau + \cos \tau d\tau.$$

Durch Ausmultipliciren und Fortlassen der unendlich kleinen Glieder zweiter und dritter Ordnung erhalt man $0 = pxds + d(Tx \sin \tau);$ daher

$$-pxds = d(Tx \sin \tau) \dots \dots \dots 423.$$

Die beiden Gleichungen 422 u. 423 geben Aufschluss uber die Grose der gleichzeitigen Werthe von T und R , welche irgend welchen Belastungen und Gleichgewichtsflachen entsprechen.

Die erzeugende Linie ist bei der Kugelkuppel ein Kreis. Die bezuglichen Werthe von T und R werden also erhalten, wenn in die Gleichungen 422 u. 423 fur x und ds die Werthe eingefuhrt werden, welche dem Kreise entsprechen. Nach Fig. 405 ist $x = r \sin \tau$ und $ds = r d\tau$; mithin, wenn noch die Annahme gemacht wird, daf p fur die ganze Kuppel constant ist,

289.
Kugelformige
Kuppel.

$$-pr \sin \tau \cdot r d\tau = d(Tr \sin \tau \sin \tau) \quad \text{und} \quad \int_{\tau_0}^{\tau} d(Tr \sin^2 \tau) = -pr^2 \int_{\tau_0}^{\tau} \sin \tau d\tau.$$

Als untere Grenze ist der Werth τ_0 von τ einzufuhren, welcher dem oberen Endpunkte der Erzeugenden entspricht; hier ist dieser Endpunkt S , und es wird $\tau_0 = 0$; demnach ist

$$Tr \sin^2 \tau = +pr^2 \left(\cos \tau \right)_0^{\tau} = -pr^2 (1 - \cos \tau),$$

$$T = -\frac{pr(1 - \cos \tau)}{\sin^2 \tau} = -\frac{pr(1 - \cos \tau)}{1 - \cos^2 \tau} = -\frac{pr}{1 + \cos \tau} \dots \dots 424.$$

Wird dieser Werth in die Gleichung 422 fur R eingefetzt, so erhalt man

$$Rds = Rr d\tau = d\left(-\frac{pr}{1 + \cos \tau} r \sin \tau \cos \tau \right) = -pr^2 d \frac{\sin \tau \cos \tau}{1 + \cos \tau},$$

$$R = -pr \frac{\cos 2\tau + \cos^3 \tau}{(1 + \cos \tau)^2} \dots \dots \dots 425.$$

Die Werthe der Gleichungen 424 u. 425 gelten fur oben geschlossene Kugelkuppeln. Die Spannungen im Scheitel werden fur $\tau = 0$ erhalten. Fur letzteren Werth ist

$$T_0 = -\frac{pr}{2} \quad \text{und} \quad R_0 = -\frac{pr}{2}, \dots \dots \dots 426.$$

d. h. die Meridianspannungen und Ringspannungen sind fur die Langeneinheit im Scheitel gleich gro; dafelbst findet somit nach allen Richtungen ein gleicher Druck $\frac{pr}{2}$ fur die Langeneinheit statt.

Fur die Halbkugelkuppel ist am Aequator $\tau = \frac{\pi}{2}$, daher

$$T_{\frac{\pi}{2}} = -pr \quad \text{und} \quad R_{\frac{\pi}{2}} = +pr \dots \dots \dots 427.$$

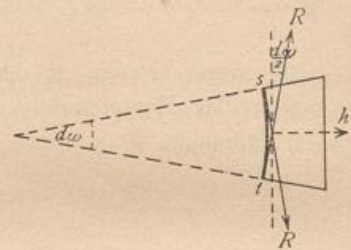
290.
Halbkugel-
kuppel.

Die Meridianspannung nimmt also vom Scheitel nach dem Aequator von $\frac{\rho r}{2}$ bis auf ρr zu, bleibt aber stets Druck, da $1 + \cos \tau$ nie negativ werden kann. Am Aequator ist T lothrecht gerichtet, da T gleiche Richtung mit der Tangente an die Erzeugende hat. Die Summe aller $T_{\frac{\pi}{2}}$ ist gleich dem Gewichte der ganzen Kuppel, da die $T_{\frac{\pi}{2}}$ die Auflagerdrücke darstellen. Es ist $\Sigma \left(T_{\frac{\pi}{2}} \right) = \rho r \cdot 2 r \pi = 2 \rho r^2 \pi$, und das ganze Kuppelgewicht ist gleich $\frac{4 r^2 \pi}{2} \rho = 2 r^2 \rho \pi$. Die Ringspannung R geht vom Druck $\frac{\rho r}{2}$ im Scheitel zum Zug ρr am Aequator über, demnach für irgend einen näher zu bestimmenden Winkel durch Null. Ist dieser Winkel τ_1 , so ist $0 = \rho r \frac{\cos 2 \tau_1 + \cos^3 \tau_1}{(1 + \cos \tau_1)^2}$, woraus sich ergibt

$$\cos \tau_1 = 0,618 \quad \text{und} \quad \tau_1 = 51^\circ 50' \dots \dots \dots 428.$$

In allen Ringen, deren zugehörige Winkel τ kleiner als τ_1 sind, findet Druck, in den Ringen, deren Winkel größer sind als τ_1 , findet Zug statt. Nimmt man auf die Zugfestigkeit des Mörtels keine Rücksicht, so können die einzelnen Theile eines Ringes keinen Zug auf einander ausüben. Ohne solchen kann aber bei den letzteren Ringen Gleichgewicht nicht stattfinden; ohne Hilfsconstruction ist daher das Gleichgewicht nicht vorhanden. Solche Hilfsconstructionen sind entweder umgelegte eiserne Ringe oder die Hintermauerung. Letztere leistet die auf den Kuppelring wirkenden Ringkräfte R ; auf dieselbe wirken sonach nach dem Princip von Wirkung und Gegenwirkung die Kräfte R in entgegengesetztem Sinne; dieselben sind bei Berechnung der Hintermauerung zu berücksichtigen. Betrachtet man ein Bogenstück st (Fig. 407), welches zum Winkel $d\omega$ gehört, so ist die Mittelkraft der beiden R die nach außen gerichtete Kraft h gleich $2 R \sin \frac{d\omega}{2} = R d\omega$.

Fig. 407.



Wir führen die abkürzende Bezeichnung

$$\mu = - \frac{\cos 2 \tau + \cos^3 \tau}{(1 + \cos \tau)^2} \dots \dots \dots 429.$$

ein; alsdann wird

$$R = \mu \rho r \quad \text{und} \quad h = \mu \rho r d\omega \dots \dots \dots 430.$$

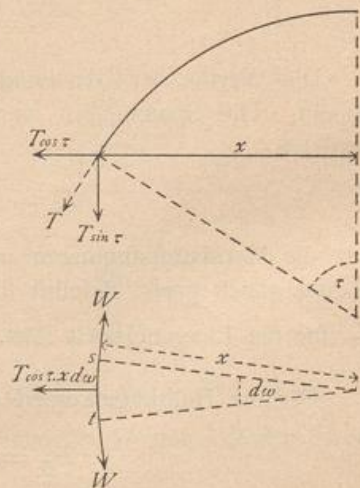
Für die Längeneinheit des $x d\omega$ langen Bogens ist also die nach außen auf die Hintermauerung wirkende Horizontalkraft in Folge der Ringspannungen

Fig. 408.

$$h = \frac{\mu \rho r d\omega}{x d\omega} = \frac{\mu \rho r}{x} \dots \dots \dots 431.$$

Aus Vorstehendem folgt noch, daß bei der Halbkugelpuppel die Hintermauerung wenigstens bis zu derjenigen Höhe hinaufreichen muß, welche dem Winkel $\tau_1 = 51^\circ 50'$ entspricht.

Außer den Kräften h (nach Gleichung 431) wirken auf die Widerlager noch die Meridianspannungen T , welche dem größten zur Kuppel gehörigen Winkel τ entsprechen. T hat eine wagrechte Seitenkraft $T \cos \tau$ und eine lothrechte Seitenkraft $T \sin \tau$. Die erstere wird durch die Widerlager oder durch einen eisernen Ring aufgehoben. Die Spannung in diesem Ringe ergibt sich dann wie folgt. Auf den Bogen st (Fig. 408)



von der Länge $x d\omega$ wirkt nach aufsen $T \cos \tau x d\omega$, und diese Kraft soll durch die beiden Ringspannungen W aufgehoben werden; es ist demnach

$$T \cos \tau x d\omega = 2 W \sin \frac{d\omega}{2} = W d\omega;$$

$$W = T x \cos \tau = \frac{p r r \sin \tau \cos \tau}{1 + \cos \tau} = \frac{p r^2 \sin \tau \cos \tau}{1 + \cos \tau} \dots 432.$$

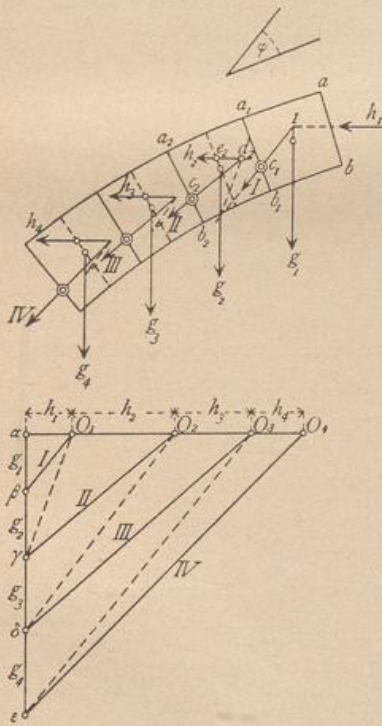
Die vorstehend entwickelten Werthe für T und R entsprechen einer Gleichgewichtsfläche. Man kann diese Werthe als genügend genaue Mittelwerthe annehmen; immerhin sind aber gröfsere und geringere Werthe denkbar, welche anderen in der Kuppel möglichen Gleichgewichtsflächen entsprechen, die nicht mit der Mittelfläche des Kuppelgewölbes zusammenfallen.

Die graphische Ermittlung der Werthe von T und R an den verschiedenen Stellen der Kuppel kann nun in ähnlicher Weise durchgeführt werden, wie bei den anderen Gewölbearten gezeigt ist, indem man bestimmte Bedingungen für die Stützzlinie vorschreibt. Man untersucht zu diesem Zwecke den einem Centriwinkel α entsprechenden Kuppeltheil und geht dabei vom Scheitel, bzw. vom Laternenring aus.

291.
Graphische
Ermittlung.

Stellt man die Bedingung, dafs die Stützzlinie im inneren Drittel verbleiben soll und kein Gleiten stattfindet, so erhält man eine solche, indem man vom obersten Kuppelringe ausgeht, folgendermafsen (Fig. 409). Die Belastung des obersten, zum angenommenen Centriwinkel gehörigen Kuppeltheiles sei

Fig. 409.



$g_1 (= \alpha \beta)$; aufser g_1 wirken auf diesen Theil noch die beiden Spannungen $R ds$, welche von den Nachbartheilen im Ringe ausgeübt werden. Diese beiden $R ds$ werden genau, wie in Fig. 406, zu einer Mittelkraft vereinigt, welche in derselben Ebene wie g_1 liegt, d. h. in der Ebene, welche den zum Centriwinkel α gehörigen Kuppeltheil halbiert. Diese Mittelkraft ist in Fig. 409 mit h_1 bezeichnet; h_1 ist vor der Hand nur der Richtung nach bekannt; Gröfse und Lage von h_1 sind unbekannt. Die Mittelkraft von h_1 und g_1 soll die Fuge $a_1 b_1$ im inneren Drittel schneiden und mit der Senkrechten zu dieser Fuge keinen gröfseren Winkel, als den Reibungswinkel φ einschließen. Man ziehe nun durch c_1 , den untersten Punkt des inneren Drittels der Fuge $a_1 b_1$, eine Linie, die den Winkel φ mit der Senkrechten zur Fuge einschließt; diese Linie schneide die Richtungslinie von g_1 in I ; alsdann hat die durch I gelegte Kraft h_1 den kleinsten Werth, welcher obigen Bedingungen entspricht. Rükte nämlich h_1 nach abwärts unter Beibehaltung von c_1 , so würde h_1 (da ja g_1 denselben Werth behält) gröfser werden; rükte gleichzeitig c_1 hinauf, so würde h_1 erst recht gröfser. Rükten h_1 und c_1 gleich viel hinauf, so bliebe h_1 unverändert, behielte also den kleinsten Werth. Alles dies ergibt sich ohne Schwierigkeit durch Verzeichnung eines Kraftdreiecks für g_1 , h_1 und Kraft I ; h_1 kann aber endlich nicht weiter nach oben rücken, wenn nicht auch c_1 nach oben rückt, weil sonst der Winkel von I mit der Senkrechten zur Fuge gröfser als φ wird. — Wenn der Schnittpunkt von h_1 mit der Mittellinie des ersten Steines oberhalb des inneren Drittels fiel, so wären an dieser Stelle auch die Ringspannungen

nicht mehr im inneren Drittel; da auch diese im Drittel liegen sollen, so würde man h_1 bis zum oberen Endpunkt des inneren Drittels hinabzurücken und den sich dann ergebenden Schnittpunkt von h_1 und g_1 mit c_1 zu verbinden haben, wobei der Winkel der Mittelkraft I gegen die Fugen-Senkrechte kleiner als φ würde.

Auf den zweiten Stein wirken nun I und g_2 ; außerdem die Mittelkraft h_2 der Spannungen R im zweiten Ringe. Die Mittelkraft von I und g_2 ist aus dem Kraftpolygon zu entnehmen ($= O_1 \gamma$); sie geht durch den Schnittpunkt der Schnittlinien dieser beiden Kräfte. Die Resultirende dieser Kraft und der Kraft h_2 soll wiederum im inneren Drittel verbleiben; eben so soll auch der Schnittpunkt von h_2 mit der punktirten Halbierungslinie dieses Steines nicht aus dem Drittel herausfallen. Der kleinste Werth von h_2 , welcher diesen Bedingungen entspricht, ist derjenige, bei welchem h_2 durch den oberen Grenzpunkt des inneren Drittels der Steinschwerlinie, d. h. durch e_2 , geht, die Gesamtmittelkraft von I , g_2 und h_2 aber die Fuge $a_2 b_2$ im unteren Grenzpunkte c_2 des inneren Drittels schneidet. Die Verbindungslinie von c_2 mit d_2 , dem Schnittpunkte der Mittelkraft von I und g_2 mit h_2 ergibt die Richtung der Gesamtmittelkraft II ; die Größe erhält man durch Ziehen einer Linie γO_2 durch γ parallel zur Richtungslinie von II . Der Winkel, welchen II mit der Fugen-Senkrechten zu $a_2 b_2$ einschließt, ist kleiner als φ , also die Construction brauchbar. Wäre der Winkel größer als φ , so wäre h_2 so weit hinabzurücken und zu vergrößern, bis der Winkel höchstens gleich φ ist. In dieser Weise erhält man durch Weiterconstruiren eine mögliche Stützlinie, welche auch mit der Wirklichkeit nahezu übereinstimmen dürfte.

Literatur.

Bücher über »Statik der Gewölbe«.

- DIETLEIN, J. F. W. Beitrag zur Statik der Kreuzgewölbe. Halle 1823.
 TELLKAMPF, H. Beitrag zur Gewölbetheorie. Frei nach CARVALLO. Hannover 1855.
 SCHEFFLER, H. Theorie der Gewölbe, Futtermauern etc. Braunschweig 1857.
 FABRE, V. *Théorie des voûtes élastiques et dilatables d'une application spéciale aux arcs métalliques.* Paris 1860.
 HAGEN, G. Ueber Form und Stärke gewölbter Bogen. Berlin 1863.
 HÄNEL, v. Zur Theorie der Tonnengewölbe. Stuttgart 1868.
 FONTAINE, H. *Stabilité des constructions. Extrait de la notice sur la théorie des voûtes.* Befançon 1870.
 ORTMANN, O. Die Statik der Gewölbe mit Rücksicht auf ihre Anwendung. Halle 1876.
 FABIAN, W. Ueber Gewölbstheorien mit besonderer Berücksichtigung auf den Brückenbau. Leipzig 1876.
 BONNIN, R. *Étude sur la stabilité des voûtes en maçonnerie.* Evreux 1876.
 PERRODIL. *Résistance des voûtes et arcs métalliques.* Paris 1879.
 GOBERT, J. B. *Nouvelles recherches sur la théorie des voûtes.* Paris 1879.
 FÖEPL, A. Theorie der Gewölbe. Leipzig 1880.
 DURAND-CLAYE, A. *Vérification de la stabilité des voûtes et des arcs; application aux voûtes sphériques.* Paris 1880.
 UNGEWITTER, G. G. Lehrbuch der gotischen Konstruktionen. 3. Aufl. von K. MOHRMANN. Leipzig 1892.
 GNUSCHKE, H. Die Theorie der gewölbten Bogen etc. Berlin 1892.
 AUTHENRIETH, E. Die statische Berechnung der Kuppelgewölbe. Berlin 1894.
 TOLKMITT, G. Leitfaden für das Entwerfen und die Berechnung gewölbter Brücken. Berlin 1895.
 Siehe auch Theil III, Band 2, Heft 3 (Abth. III, Abschn. 2, B: Gewölbte Decken) dieses »Handbuches«.

Nachtrag.

Auf S. 5 sind nachstehende Werke nachzutragen:

- SMITH, H. *Graphics; or the art of calculation by drawing lines, applied to mechanical engineering.* London 1889—91.
 BOVEY, H. T. *Theory of structures and strength of materials.* London 1893.
 PILLET, J. *Traité de stabilité des constructions etc.* Paris 1895.
 VONDERLINN, J. Statik für Bauhandwerker etc. Stuttgart 1896.

Desgl. auf S. 204:

- HEHNE, W. Eiserne Träger und Säulen. Hilfsbuch zur statischen Berechnung. Halle 1890.
 COUSINS, R. H. *A theoretical and practice treatise on the strength of beams and columns.* London 1890.

